

岡山大学 正員 竹曾宏和  
○岡山市 正員 貞国長一郎

1. まえがき 本研究は、根入れのあるケーリン基礎構造物の地盤応答解析を行なったものである。解析モデルは図1に示すように、ケーリン基礎構造物を剛体とみなして並進と回転を示す2自由度系とした。従来、地盤の影響はインピーダンスとしてバネ、ダンピングとして置換されるが、地盤振動効果は入力に含めている。今回も、地盤反力を算定し地盤振動を考慮してこれを妥当性を調べた。

2. 解析手法 地盤-基礎構造物系の運動方程式は図1を参照して、ケーリン基礎がその底面で $u_1(t)$ の地動を受けたとき、その重心の水平変位 $u_2(t)$ と回転角 $\psi(t)$ とする。

$$m\ddot{u}_1(t) = Q(t) - R_x(t) - N_x(t) \quad (1)$$

$$J_g \ddot{\psi}(t) = M(t) - R_y(t) - N_y(t) \quad (2)$$

ただし  $m$  : ケーリンの質量  $J_g$  : ケーリンの重心回りの慣性回転モーメント  $R_x(t)$  : ケーリン底面に作用する水平反力  $R_y(t)$  : ケーリンの重心に関する底面の反力モーメント  $N_x(t)$  : ケーリン側面に作用する水平反力  $N_y(t)$  : ケーリンの重心に関する側面の反力モーメント  $Q(t)$ ,  $M(t)$  ; 上部構造物による加振力、加振モーメント

本研究では、地盤の反力係数はケーリン基礎側面について<sup>1)</sup>は Beredugo & Novak の式を用いる。

$$\text{並進に対して } K_{HH} = G_S(S_{u1} + iS_{u2}) \quad S_{u1} = 4.10 \quad S_{u2} = 10.60$$

$$\text{回転に対して } K_{RR} = G_S r^2 (S_{\psi 1} + iS_{\psi 2}) \quad S_{\psi 1} = 2.50 \quad S_{\psi 2} = 1.80$$

ただし  $G_S$  : 表層地盤のせん断弾性係数  $r$  : ケーリン基礎の半径  $S_{u1}, S_{u2}$  : ケーリン側面の動的地盤係数  $S_{\psi 1}, S_{\psi 2}$  ; 減衰定数  $i = \sqrt{-1}$

一方、ケーリン基礎底面については Veletsos & Verbič の式を近似的に採用する。<sup>2)</sup>

$$\text{並進に対して } K_{VV} = K_Z (K_Z + iA_0 C_Z)$$

$$K_Z = 8G_V r / (2 - \nu) \quad K_Z = 1 \quad C_Z = d_1 = 0.60$$

$$\text{回転に対して } K_{MM} = K_\theta (K_\theta + iA_0 C_\theta)$$

$$K_\theta = 8G_V^3 / 3(1 - \nu) \quad K_\theta = 1 - \beta_1 (\beta_2 A_0)^2 / \{1 + (\beta_2 A_0)^2\} - \beta_2 A_0^2 \quad C_\theta = \beta_1 \beta_2 (\beta_2 A_0)^2 / \{1 + (\beta_2 A_0)^2\}$$

ただし  $K_Z, K_\theta$  ; 静的地盤剛性  $K_Z, K_\theta, C_Z, C_\theta$  ; ポアソン比 $\nu$ により無次元関数  $G_V$  ; 第2層の土のせん断弾性係数  $A_0$  ; 無次元振動数  $A_0 = \omega V_S / \nu_S$   $\omega$  ; 振動数  $V_S$  ; 第2層の土のせん断速度  $\beta_1 = 0.45 \quad \beta_2 = 0.80 \quad \beta_3 = 0.023$  したがって、地盤反力は次式のように表わされる。

$$R_x(t) = K_{VV} \{u_1(t) - Z_C \psi(t) - U_g(t)\}$$

$$R_y(t) = K_{MM} \psi(t) - Z_C K_{VV} \{u_1(t) - Z_C \psi(t) - U_g(t)\}$$

$$N_x(t) = \int_{-Z_C}^{D-Z_C} [K_{HH} \{u_1(t) + Z_C \psi(t)\} - U_S(Z, t)] dZ = K_{HH} D [U_1(t) + (\frac{D}{2} - Z_C) \psi(t)] - K_{HH} \int_{-Z_C}^{D-Z_C} U_S(Z, t) dZ$$

$$N_y(t) = \int_{-Z_C}^{D-Z_C} [K_{RR} \psi(t) + K_{HH} \{u_1(t) + Z_C \psi(t)\} - U_S(Z, t)] dZ = K_{RR} D \psi(t) + [(\frac{D}{2} - Z_C) U_1(t) + (\frac{D^2}{3} - DZ_C + Z_C^2) \psi(t)] K_{HH} D - K_{HH} \int_{-Z_C}^{D-Z_C} U_S(Z, t) Z dZ$$

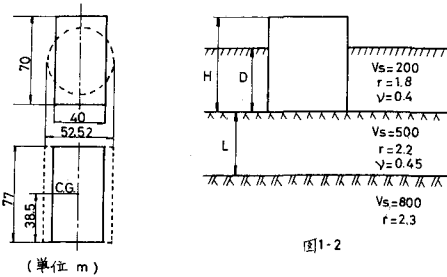


図1-1 地盤応答解析に用いたケーリン  
およびそれと等価な円筒形ケーリン

$$H=77.0\text{ (m)} \\ L=50.0\text{ (m)} \\ D=(1/2, 1/3) H$$

ただし  $U_g(t)$ ; ケーラン底面における地盤変位  $U_s(z,t)$ ; 表層地盤の変位  $Z_s$ ; ケーラン基礎の重心の高さ上式中の地盤変位  $U_s(z,t)$  は、地盤を一次元せん断柱モデルとし伝達マトリックス法により解析した。調和振動時には式(1), (2)が次式となる。

$$\left\{ \begin{array}{l} U_s \\ Z_s \end{array} \right\} = \left[ \begin{array}{cc} K_{TT} + DK_{HH} - M\omega^2 & -Z_s K_{TT} + D(\frac{D}{2} - Z_s) K_{HH} \\ -Z_s K_{TT} + D(\frac{D}{2} - Z_s) K_{HH} & K_{HH} + Z_s^2 K_{TT} + DK_{QQ} + D(\frac{D^2}{3} - DZ_s + Z_s^2) K_{HH} - J_g \omega^2 \end{array} \right]^{-1} \left\{ \begin{array}{l} Q_0 + 2E K_{TT} \cos kD + 2E K_{HH} \sin kD / \omega \\ M_0 - 2E Z_s K_{TT} \cos kD + 2E K_{HH} (1 - \cos kD - kZ_s \sin kD) / \omega^2 \end{array} \right\}$$

あるいは  $\{Y(\omega)\} = [H(\omega)]^{-1} \{Z(\omega)\}$

ここで、2 章は基礎入力波に対する地表面加速度のフーリエ変換を示す。そして、応答計算は上式で各振動数について求めた値を逆フーリエ変換して時刻歴応答にした。フーリエ変換および逆フーリエ変換の演算には、高速フーリエ変換 FFT を使用した。以上の地盤入力の考え方をモデル 1 と呼ぶ。従来、剛体基礎に対する入力の把握の仕方は、剛体の重心の位置あるいは地表面での地盤加速度を探るといふ。これをモデル 2 と称する。この  $\{Y(\omega)\} = \left\{ \begin{array}{l} Q_0 + 2E K_{TT} \cos k(D-Z_s) + 2E K_{HH} \cos k(D-Z_s) \\ M_0 - 2E Z_s K_{TT} \cos k(D-Z_s) + 2E D (\frac{D}{2} - Z_s) K_{HH} \cos k(D-Z_s) \end{array} \right\}$  ときの外力項は右式となる。

3. 解析結果 応答計算は、図 1 に示す明石海峡大橋の基礎構造物について根入れ深さ  $D/H$  を  $1/3$  として行った。図 2 に  $D/H = 1, 1/3$  の場合の応答倍率を示す。これから、 $D/H = 1$  の応答ピークは地盤振動の影響によるものであり、 $D/H = 1/3$  では構造物自体の振動特性によることが判る。したがって、根入れのあるケーラン基礎構造物は、その弊害が現れないようにして、周辺の地盤の影響が大きくなることが判る。モデル 1 とモデル 2 の差は、並進よりも回転に大きく現われている。表 1 は入力波、EL CENTRO 1940'S NS (最大加速度 3.0gal=3.0g) に対する最大加速度応答値を掲げたもので、これより、モデル 2 の入力の仕方は根入れが無いときは良い近似とは、いふが、根入れが無いときはモデル 2 の考え方の入力を過大評価することになる。

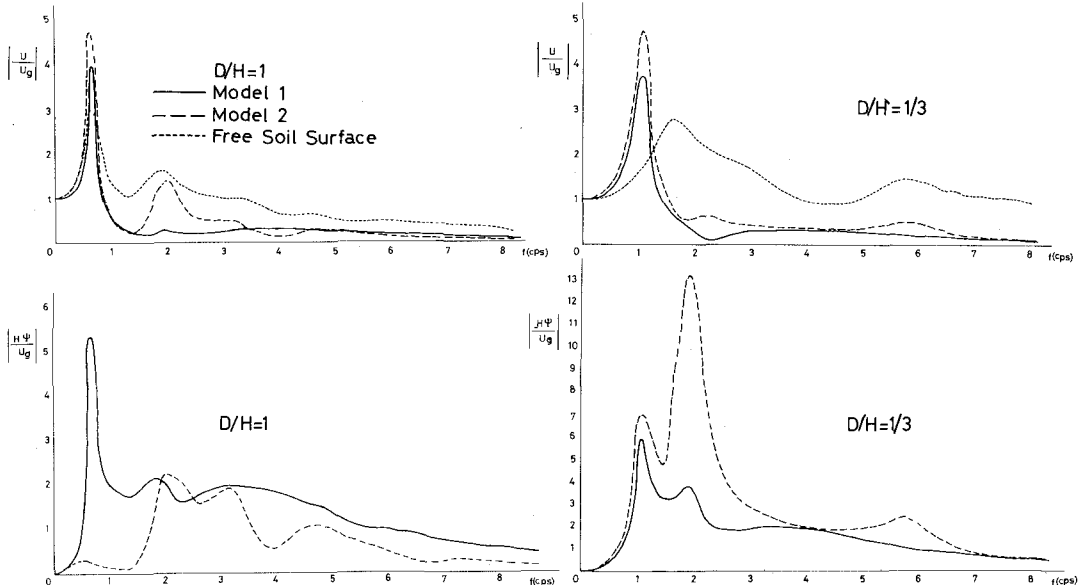


表 1. 基盤面入力波に対する応答水平加速度(gal)

図 2 応答倍率

#### 参考文献

- 1) Beredugo & Novak: Coupled Horizontal and Rocking Vibration of Embedded Footing, Canadian Geotechnical Journal, Vol. 9, 1972, pp477-497
- 2) Veletos & Verbic: Vibration of Viscoelastic Foundations, Earthq. Eng. & Struc. Dyn., Vol. 2, 1973, pp.87-90
- 3) Schnabel, Lysmer & Seed: SHAKE, A Computer Program for Earthquake Response Analysis of Horizontally Layered Site, EERC 72-12, 1972
- 4) 土木学会 明石海峡大橋耐震設計小委員会 明石海峡大橋の耐震設計に関する調査研究報告書 昭和53年